SHG (第二高調波発生) 顕微鏡の小型化

Miniaturized SHG (Second-Harmonic-Generation) microscopy

[○]厚田 耕佑¹, 長谷 栄治¹, 南川 丈夫¹, 吉木啓介², 安井 武史¹ (1. 徳島大, 2. 兵庫県立大)

^OK. Atsuta¹, E. Hase¹, T. Minamikawa¹, K. Yoshiki², and T. Yasui¹ (1.Tokushima Univ., 2. Univ. Hyogo)

E-mail: yasui.takeshi@tokushima-u.ac.jp http://femto.me.tokushima-u.ac.jp

1. はじめに

近年、非接触・非侵襲でコラーゲンの選択的観 測が可能である生体コラーゲン SHG (second harmonic generation: 第2高調波発生光) 顕微鏡が 注目されている[1]. SHG 顕微鏡は,皮膚計測[2] や再生医療[3]を始めとしたコラーゲン関連分野 での利用が期待されている.しかし、従来の SHG 顕微鏡は、大型・複雑で、その利用は実験室レベ ルに制限されていた. SHG 顕微鏡を, 臨床応用も 含めた各種応用分野で幅広く利用するためには, 装置の小型化が重要である. ここで, (1)小型レー ザー光源, (2)ファイバー光学系, (3)小型 SHG 顕 微鏡ユニットという3つの技術要素を上手く導入 できれば、小型・フレキシブル・ロバスト・メン テナンスフリーな SHG ファイバースコープが実 現できる可能性がある. 本発表では、上記技術要 素の(2)ファイバー光学系と(3)小型 SHG 顕微鏡ユ ニットについて報告する.

2. 実験装置

図 1(a)にセットアップを示す。モード同期 Cr:F レーザー光($\lambda_c = 1250$ nm, $\Delta \tau = 90$ fs, $P_{mean} = 250$ mW, $f_{rep} = 73$ MHz)は,レンズを用いてラージモードエリア・フォトニクス結晶ファーバー(PCF, コア径 25μ m, 長さ 75cm) に入射される(カップリング効率 33%). レーザー光はPCFを伝播した後,小型 SHG 顕微鏡ユニットに導かれる. ユニット内のガルバノ走査ミラーで反射後,リレーレンズ対とダイクロイックミラー(DM)を通過し,対物レンズ(油浸,NA=0.9, $WD=350\mu$ m)で試料上に集光される.サンプルからの後方散乱 SHG 光は DM で反射され,バンドパスフィルタ(透過波長=625 nm)でフィルタリングされた後,フォトンカウンティング型光電子増倍管(PMT)によって検出される.

なお,ヒト皮膚 in situ 計測の実験に先立ち,徳 島大学大学院ソシオテクノサイエンス研究部研究 倫理委員会の承認(#14003)を得た.



Fig.1 (a) Experimental setup and (b)Experimental

3. 実験結果

まず、フーリエ変換限界パルス光がラージモードエリア PCF を伝播する前後のパルス幅を評価した. 図2は、PCF入射前と出射後の自己相関波形を示しており、PCF伝播によるパルス拡がりがほとんど発生していないことが分かる.

次に、レーザー光の PCF 伝送と小型 SHG 顕微鏡ユニットにより、ハンドヘルドとなった SHG ファイバースコープを、ヒト頬皮膚に直付けし、in situ 計測を行った[図 1(b)]. 対物後の入射パワーを 40mW に設定し、イメージ領域は $400*400\mu m$ であった。これより、ヒト頬中のコラーゲン分布の様子が確認できる.

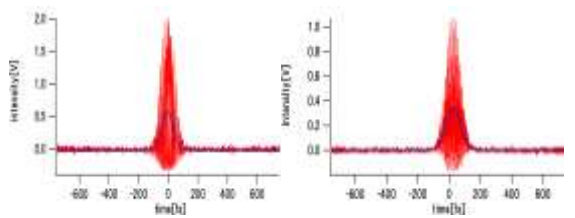


Fig.2 Autocorrelation waveform Input (left) and Output (right)

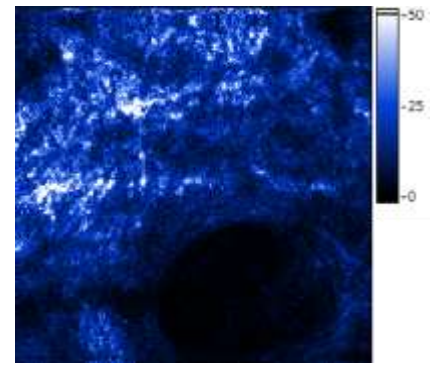


Fig.3 SHG imaging of human cheek skin

4. まとめ

ラージモードエリア PCF と小型 SHG 顕微鏡ユニットの利用により、SHG 顕微鏡を大幅に小型化すると共に、フレキシブル・ロバスト・メンテナンスフリーといった実用性を付与した。これにより、実験室外の様々な現場での SHG イメージングが期待できる.

参考文献

- (1) P. J. Campagnola et al., Laser Photon. Rev.5, pp.13 (2011).
- (2) T. Yasui et al., J. Biomed. Opt.18, art. 031108 (2013).
- (3) E. Hase et al., Proc. SPIE 9329, art. 93292Q (2015).